Bing MARBRI BING

0200HO03830 WINDBROOK x BAXTER x GOLDWYN

MARBRI BAXTER BREEZE

Dam

A2A2

GILLETTE WINDBROOK
MARBRI BAXTER BREEZE VG-85-3YR-CAN 15*
EMERALD-ACR-SA T-BAXTER
GLENEIL GOLDWYN BOUNCE VG-87-5YR-CAN 5*
BRAEDALE GOLDWYN
GILLETTE EMERSON BELLA VG-85-2YR-CAN 12*

GTPI 2078

ST TD B/R TL TY TV — HH1F HH2F HH3F HH4F HH5F HH6F HCDF HMWF

Num.Reg #: HOCANM11273783	aAa: 432156	DMS: 234,123
Nacimiento: 06/22/2011	Kappa Caseina: AA	Beta Caseina: A2A2

PRODUCCION 330 Rebaños 680 Hijas 92% Rep. MACE-G / 04-25

Leche lbs	Grasa lbs	Grasa %	Proteína lbs	Proteína %
-55	**-33**	**-0.12**	**-18**	**-0.06**
NM$ **-371**	CM$ **-400**	FM$ **-308**	GM$ **-382**	DWP$
Eficiencia de Conversiòn **-90**	IR **-129**	Comida Ahorrada **18**	Eficiencia Metano	

SALUD Y REPRODUCCIÓN — **Immunity 88**

Vida Productiva	**-1.8**	Inmunidad crias	**94**
Células Somáticas	**3.28**	Tasa Preñez Vacas	**-1.7**
Fertilidad de las Hijas	**-1.8**	Tasa Preñez Novillas	**-0.4**
Durabilidad	**-2.5**	Facilidad de Parto	**2.7%** 78% Rep.
Durabilidad Novillas	**0.3**	Facilidad de Parto de las Hijas	**2.2%** 77% Rep.
Indice de Fertilidad	**-2.3**	Crías del Toro que Nacen Muertas	**6.0%**
		Crías de las Hijas que Nacen Muertas	**5.4%**

TIPO 151 Rebaños 228 Hijas 87% Rep. MACE / 04-25

PTAT	**0.59**	Estruct. y Capacidad	**0.68**
Compuesto Ubres	**0.07**	Estruct. Lechera	**0.47**
Compuesto Patas	**1.06**		

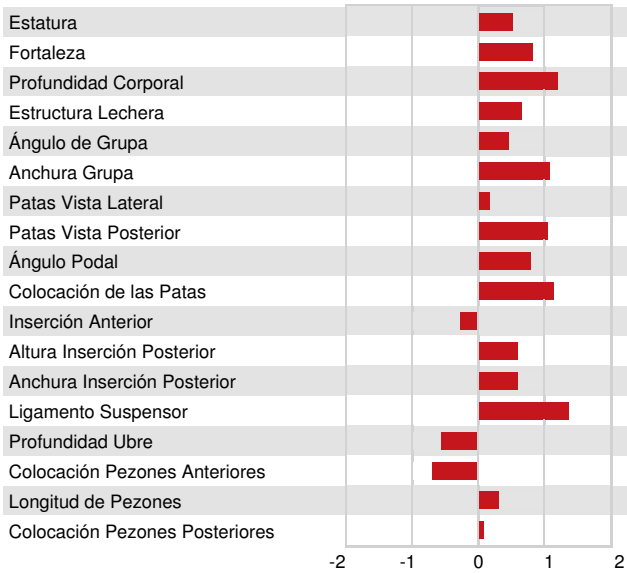

Estatura	Alta	**+0.53**
Fortaleza	Fuerte	**+0.82**
Profundidad Corporal	Profunda	**+1.20**
Estructura Lechera	Cost. Abierta	**+0.66**
Ángulo de Grupa	Isq. Bajos	**+0.46**
Anchura Grupa	Ancha	**+1.06**
Patas Vista Lateral	Curvas	**+0.18**
Patas Vista Posterior	Aplomadas	**+1.03**
Ángulo Podal	Profundo	**+0.81**
Colocación de las Patas	Correcta	**+1.13**
Inserción Anterior	Débil	**-0.25**
Altura Inserción Posterior	Alta	**+0.60**
Anchura Inserción Posterior	Ancha	**+0.60**
Ligamento Suspensor	Fuerte	**+1.36**
Profundidad Ubre	Profunda	**-0.58**
Colocación Pezones Anteriores	Abiertos	**-0.70**
Longitud de Pezones	Largos	**+0.31**
Colocación Pezones Posteriores	Cerrados	**+0.06**